



بیهینه سازی برخی از مشخصه های آشکارساز نقطه کوانتمی جدید علی واحدی

گروه فیزیک، واحد تبریز، دانشگاه آزاد اسلامی، تبریز، ایران

چکیده

در این تحقیق برخی از مشخصه های آشکار ساز مبتنی بر ساختار جدید نقطه کوانتمی کروی GaN/AlGaN مطالعه شده است. برای این منظور ابتدا با استفاده از تقریب جرم موثر معادله شرودینگر در دستگاه مختصات کروی حل شد، سپس با استفاده از توابع موج، عناصر ماتریس گذار دو قطبی و قدرت نوسان کنندگی، ضریب جذب بدست آمد. نتایج نشان دادند افزایش اندازه نقطه یعنی هسته و کسر مولی علاوه بر تغییر ضریب جذب سبب جابجایی پیک آن نیز می شوند. افزایش طول عمر تراز فقط سبب کاهش مقدار جذب می شود و قله جذب نیز بدون تغییر می ماند، همچنین با توجه به نوع ساختار افزایش اندازه پوسته نقطه کوانتمی تغییرات محسوسی درمنحنی ایجاد نمی کند.

واژه های کلیدی: بهره کوانتمی، ضریب جذب، نقاط کوانتمی، نانوساختارهای AlGaN/GaN

ایمیل نویسنده مسئول: vahedi@iaut.ac.ir

گسترش نسل جدیدی از زیست حسگرها، آشکارسازهای مادون قرمز، لیزرهای دیودی و سلولهای خورشیدی شده است. تخمین پارامترهای مهم این ساختارها توسط مدل جرم موثر صورت می پذیرد. براین اساس گاف انرژی نقاط کوانتمی شامل گاف انرژی نیمرسانا در حالت توده ای، انرژی محصورسازی کوانتمی^۱ و انرژی برهمکنش الکترواستاتیک بین الکترون و حفره در اکسیتون می شود. طیف جذبی قوی و گسترده، طیف نشری باریک متنقارن و تنظیم پذیر، بازده کوانتمی بالا و زمان گسیل طولانی از خواص مورد دلخواه نقاط کوانتمی محسوب می شوند^[۳-۶]. بنابراین در سالهای اخیر آشکارسازهای مادون قرمzasاخته شده بر پایه چاههای کوانتمی بسیار مورد توجه بوده اند.

برخی از کوانتم دانها از ترکیب نیمرسانا های گروه ۳ با ۵ و ۲ با ۶ بدست می آیند.

نقص کوانتمی^۲ و یا تغییر نحوه چیدن امها در سطح نقاط کوانتمی باعث تغییر در شکاف انرژی می شود. این نوع از نقاط کوانتمی خصوصیات یک نیمه هادی را از خود نشان می دهند^[۷].

این خاصیت باعث ایجاد قابلیت تنظیم طول موج تابشی می شود، بنابراین با کنترل اندازه نانوها می شود طول موجهای تابشی را مشخص کرد، به طوری که نقاط کوانتمی بزرگ، نورقمزون نقاط کوانتمی کوچک نورآبی از خود ساطع می کنند^[۲-۵]. ساختارهای نقاط کوانتمی کاربردهای زیادی در عکس برداری عمیق بافتها، اپتیک، LEDها و لیزرها دارند^[۵-۶].

۱- مقدمه

در سالهای اخیر آشکارسازهای مادون قرمز ساخته شده بر پایه چاههای کوانتمی^۱ بسیار مورد توجه بوده اند، اما این آشکارسازها به دمایهای پایین نیازمند هستند، زیرا میزان گسیل حرارتی بالای دارند. یکی دیگر از مشکلات این آشکارسازها ناتوانی آنها برای آشکارسازی تابشهای نرمال با توجه به وجود قاعده گزینش قطبی شاست. بنابراین نیاز به اسیاب کمکی و جانبه دارند که باعث جحیم شدن آشکارساز و بالا رفتن قیمت آنها می گردد^[۱-۲].

تحقیقات جدید نشان می دهد ساختارهای جدید نقطه کوانتمی^۲ به علت دارا بودن ترازهای گسسته و گذارهای بین باندی و زیرباندی می توانند جایگزین خوبی برای آشکارسازی در ناحیه مادون قرمز باشند. مزیت آشکارسازهای حاصل از نقاط کوانتمی به سه دلیل زیراست:

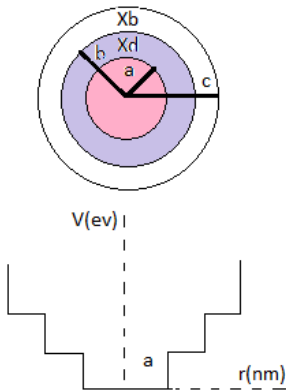
۱- حساسیت بالا به نورهای تابشی^۲- پایین بودن پراکنده^۲ الکترون- فونون و بهره جریان بالا^۳- توانایی کار در دمایهای بالا نقاط کوانتمی نیمه رسانا در ابعاد نانومتری هستند که به دلیل قابل کنترل بودن اندازه شان دارای خواص جالب الکترونی و اپتیکی تنظیم پذیر هستند^[۴-۶]. در ابعاد نانومتریک مکانیک کوانتم حاکم بوده و سری جدیدی از پدیده های فیزیکی ظهور می کنند. این پدیده ها موجب

^۱ Quantum Confinement Effect

^۲ Quantum Defect

^۱ Quantum Well

^۲ Quantum Dot



شکل ۱: شکل هندسی و پتانسیل نقطه کوانتمومی کروی

این ساختار از نوع هسته/پوسته/پوسته نوع اول می باشد. مطابق شکل پتانسیل برای نقص که در مرکز قرار دارد برابر صفر و برای پوسته با کسرهای مولی متفاوت x_d و x_b آلومینیوم به ترتیب برابر با V_{01} و V_{02} درنظر گرفته می شود.

معادله شرودینگر رمختصات کروی با درنظر گرفتن جرم موثر الکترون (m_i^*)^۱ و توزیع پتانسیل درناوی مختلف به روش

جدا سازی متغیرها بصورت تحلیلی حل می شود. جواب بخش زاویه ای همانگاهای کروی بوده و بخششعاعی نیز معادله بسل کروی است [۵,۷]:

$$r^2 \frac{d^2 R}{dr^2} + 2r \frac{dR}{dr} + \left\{ \frac{2m_i^*}{\hbar^2} [E - V_i(r)] r^2 - \ell(\ell+1) \right\} R = 0 \quad (1)$$

که در معادله فوق به ترتیب r , R , E , R فاصله از مرکز، جواب بخششعاعی معادله، انرژی و اعداد صحیح می باشند. با معرفی

$k_i^2 = \frac{2m_i^*}{\hbar^2} [E - V_i(r)]$ جواب معادله (۱) برای دو حالت انرژی های پتانسیل مورد نظری صورت زیرنوشته می شود [۲] :

$$R(r) = \begin{cases} [C_1 j_\ell(k_1 r) + C_2 n_\ell(k_1 r)] \sqrt{\frac{2}{\pi}} & 0 < r < a \\ [C_3 i_\ell(k_2 r)] \sqrt{\frac{2}{\pi}} & a < r < b \\ [C_4 K_\ell(k_3 r)] \sqrt{\frac{\pi}{2}} & b < r \end{cases} \quad (2)$$

که در آن

در مقاله حاضر پس از حل معادله شرودینگر و تعیین توابع موج و ماتریس گذار دوقطبی^۲، ساختار جدید نقطه $GaN/Al_xGa_{1-x}N$ نقطه کوانتمومی کروی^۳، وابستگی ضریب جذب به پارامترهای نظریاندازه نقص، بهنای زمان عمر^۴ و کسرمولی مورد بررسی قرار گرفته و نمودارهای مربوطه ترسیم و توصیف می شوند [۷].

۲- مدلسازی

در کار حاضر برای افزایش و بهبود ویژگی های آشکار سازی مادون قرمزو اشرات مربوط به گذارهای زیر باندی مادون قرمز، ساختار جدید نقطه کوانتمومی پیشنهاد می شود. ساختار نقطه کوانتمومی به طور معمول به صورت پوسته/پوسته^۵ می باشد. بسته به گاف نواری و محل نسبی سطوح انرژی الکترونی در نیمرساناهای مورد استفاده پوسته و هسته می توانند نقشهای مختلف درنانو بلورداشته باشند. سه نوع ساختار کلی متفاوت را می توان برای سیستمهای هسته/پوسته در نظر گرفت [۹]:

در ساختار نوع اول گاف نواری ماده ی پوسته از گاف نواری هسته بزرگ تر بوده و هردیو الکترونها و حفره ها در هسته محبوس می شوند. در ساختار دومی گاف نواری ماده ی پوسته از گاف نواری هسته کوچکتر بوده و بسته به ضخامت پوسته، حفره ها والکترونها به طور نسبی یا کامل در پوسته محبوس می شوند. در ساختار نوع آخر، لبه ی نوار ظرفیت یا لبه ی نوار رسانش ماده ی پوسته در میان گاف نواری هسته قرار می گیرد. با برانگیختگی نانو بلور، آرایش نواری به وجود آمده منجر به تفکیک فضایی حفره و الکترون و قرار گیری آنها در ناحیه های مختلف ساختار هسته/پوسته می شود. درنانو بلورهای هسته/پوسته، پوسته برای غیرفعال کردن سطح هسته با هدف بهبود خواص اپتیکی آن مورد استفاده قرار می گیرد.

استفاده از یک پوسته میانی کاهش دهنده ی تنش که بین هسته نانو بلور و پوسته ی خارجی ساندویچ می شود، برای اولین بار در سیستم هسته/پوسته/پوسته^۶ $CdSe/ZnSe/ZnS$ پیشنهاد شده است [۱۰]. این گونه سیستم ها پایداری بالاتری در مقابل اکسیداسیون نوری نسبت به سیستم هسته/پوسته داشته و بهره های کوانتمومی^۷ بالاتری دارند [۱۱].

با توجه به اینکه گاف انرژی نیمرسانای GaN زیاد است و بسیاری از ویژگی های اپتیکی آن مورد مطالعه قرار گرفته است [۱۱]، بنابراین در مقاله حاضر ساختار کروی با قراردادن هسته GaN در مرکز دو پوسته $Al_xGa_{1-x}N$ با ضخامت های داخلی x_d و خارجی x_b متغیر پایه ریزی شده است. انرژی پتانسیل حاصل از این فونه همانند شکل ۱ خواهد بود.

⁶ Effective mass

¹ Dipole Transition Matrix

² Spherical Quantum Dots.

³ Relaxation Time Width

⁴ Core /Shell

⁵ Quantum Efficiency

Γ پهنهای طول عمرتاز N_d چگالی حجمی نقاط کوانتمومی، n_{op} ضریب شکست ماده، ϵ_0 به ترتیب گذردهی الکتریکی محیط و خلاء می‌باشند. n_f و n_i نیز به ترتیب احتمال پرشدن ترازهای اولیه و نهائی هستند. برای دماهای پایین $n_i = 1$ و $n_f = 0$ می‌باشد. بهره کوانتمومی^۳ به صورت میزان الکترون تولیدی به ازای فوتون تابشی تعریف می‌شود و با فرمول زیر بیان می‌شود[۸]:

$$\eta = \alpha(\omega) L \left[V_{ec} e^{-E_{ec}/K_B T} / (V_0 + V_{ec} e^{-E_{ec}/K_B T}) \right] \quad (8)$$

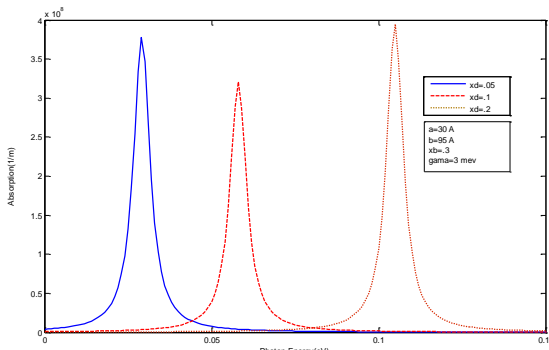
در رابطه فوق V_0 واهلش ازحالت برانگیخته فوتونی به بقیه حالات است و در اینجا تقریباً برابر 10^{10} است. L طول قطعه، E_{ec} اختلاف انرژی بین حالت پیوسته و برانگیختگی نوری وابسته به میدان است. V_{ec} در این ساختار تقریباً برابر 10^{13} است. این کمیت پایه و برانگیخته اول یعنی i و f ماتریس گذاردو قطبی r_{if} را پیدا می‌کنیم.

$$\eta \approx \alpha(\omega) L \quad (9)$$

برای کاربردهای آشکارسازی مادون قرمز نانوساختارها ضریب بهره کوانتمومی اهمیت زیادی دارد[۴,6].

۱- تجزیه و تحلیل نتایج

در این بخش نتایج مربوط به تغییرات ضریب جذب به ازای کسرهای مولی متفاوت آلومینیوم، اندازه نقص و پهنهای عمرتازبررسیب انرژی فوتون تابشی به دست می‌آید. که از روی آن هم بهره کوانتمومی قابل دستیابی است. لازم به توضیح است نمودارهای مربوط به پارامترهای نظری ترازهای انرژی، توابع موج و ماتریس گذاردو قطبی در کارهای قبلی آورده شد [۷].



شکل ۲: تغییرات ضریب جذب به ازای کسرهای مولی متفاوت آلومینیوم

$$\begin{cases} k_1 = \sqrt{\frac{2m_1^* E}{\hbar^2}} & 0 < r < a \\ k_2 = \sqrt{\frac{2m_2^*(V_{01} - E)}{\hbar^2}} & a < r < b \\ k_3 = \sqrt{\frac{2m_3^*(V_{02} - E)}{\hbar^2}} & b < r \end{cases} \quad (3)$$

است. و برای $E > V_{01}$

که در آن $k'_2 = \sqrt{\frac{2m_2^*(E - V_{01})}{\hbar^2}}$ است. ضرایب C_i با اعمال شرطهای پیوستگی تابع موج و مشتق آن در مرزها و شرط نرمالیزاسیون بدست می‌آیند. پس از تعیین توابع موج حالتاً پایه و برانگیخته اول یعنی i و f ماتریس گذاردو قطبی r_{if} را پیدا می‌کنیم.

$$\vec{r}_{if} = \langle \psi_i | r | \psi_f \rangle \quad (5)$$

از روی ماتریس گذاردو قطبی قدرت نوسان کنندگی^۱ به صورت زیربه دست می‌آید[۸].

$$f_{if} = \frac{2m^*}{\hbar^2} (E_i - E_f) |r_{if}|^2 \quad (6)$$

در رابطه فوق E_i و E_f به ترتیب انرژی حالتاً پایه و تحریکی اول می‌باشند.

جدول ۱: پارامترهای فیزیکی ساختار مورد نظر[۲]

پارامترها	مقدار
جرم موثر الکترون	$0.252x + 0.228 (m_e)$
گاف انرژی	$6.13x + (1-x) \times 3.42 - x(1-x)(eV)$
$\Delta E_c(x)$	$0.7 \times [E_g(x) - E_g(0)](eV)$
چگالی حاملین بار N_d	$1 \times 10^{24} (m^{-3})$
ضریب شکست	$(5.2 - 1.15x)^{\frac{1}{2}}$
گذردهی الکتریکی ϵ	$(-0.3x + 10.4)\epsilon_0$
$\hbar\Gamma$ واهلش	$0.3(meV)$

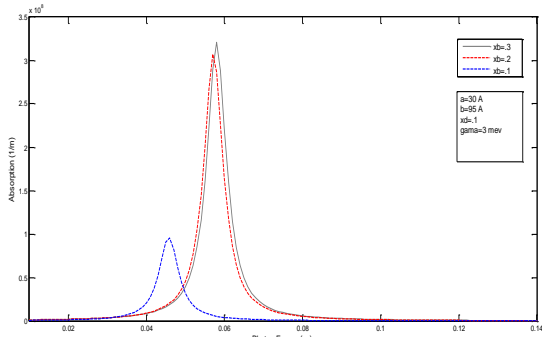
ضریب جذب^۲ نیزکه پارامتر بسیار مهمی است با رابطه داده می‌شود[۸].

$$\alpha = \frac{\pi \hbar N_d n_{op} e^2}{m^* \epsilon \epsilon_0 c} (n_i - n_f) f_{if} \frac{\Gamma}{(\hbar \omega - \hbar \omega_{if})^2 + \Gamma^2} \quad (7)$$

¹ Oscillator Strength

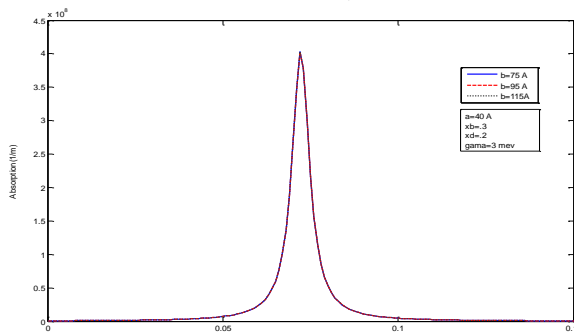
² Absorption Coefficient

شکل ۵ تغییرات ضریب جذب را به ازای کسرمولی مختلف پوسته خارجی (x_b) نشان می‌دهد.



شکل ۵ تغییرات ضریب جذب به ازای کسرمولی مختلف پوسته خارجی

در شکل ۵ دیده می‌شود افزایش کسرمولی آلمینیوم سبب افزایش جذب و جابجایی آبی قله آن می‌شود. این بدان معنی است که فاصله بین ترازهای انرژی با افزایش کسر مولی در این ناحیه کاهش یافته و به هم نزدیکتر می‌شوند [7].



شکل ۶ تغییرات ضریب جذب به ازای شعاعهای مختلف پوسته داخلی

شکل ۶ نمودار جذب بر حسب انرژی فوتون تابشی را به ازای شعاعهای مختلف پوسته داخلی (b) نشان می‌دهد. می‌توان نتیجه گرفت با افزایش اندازه نقطه کوانتمی تغییرات محسوسی درمنحنی ایجاد نمی‌شود، زیرا ساختارمورد مطالعه از نوع سیستم‌های هسته‌ای پوسته اول بود و محصورشدنگی حاملین بار در ناحیه هسته اتفاق می‌افتد. ماکریم جذب منسوب به انرژی $7/2$ میلی‌کترون‌ولت است.

جدول ۲ قله جذب و به تبع آن بهره کوانتمی برای کسرهای مولی مختلف را نشان می‌دهد. با توجه به رابطه ۹ می‌بینیم که بهره کوانتمی باید با افزایش ضریب جذب و اندازه نقص افزایش یابد، نتایج این افزایش را با کمی خطأ نشان می‌دهند که گمان می‌رود به علت رفتار تابع موج دراثرمحصورشدنگی کوانتمی باشد.

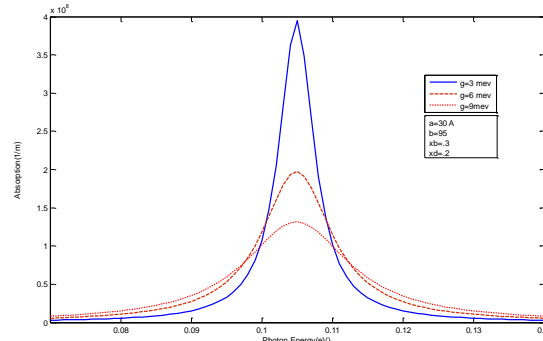
جدول ۲: قله جذب برای کسرهای مولی مختلف (x_b)

x_b	E (mev)	قله جذب ($10^8 1/m$)
-------	---------	---------------------------

شکل ۲ تغییرات ضریب جذب بر حسب انرژی فوتون تابشی به نمونه را به ازای کسرهای مولی متفاوت آلمینیوم (در پوسته پیروزی) نشان می‌دهد.

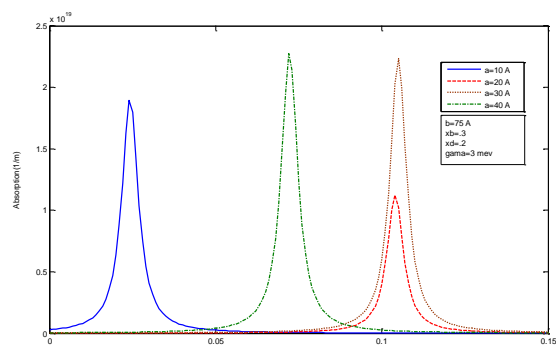
در شکل ۲ با افزایش کسرمولی مقدار ضریب جذب ابتدا کاهش و سپس افزایش می‌یابد این رفتار غیرعادی به رفتار غیرعادی ماتریس گذاردو قطبی وتابع موج مربوط می‌شود. همچنین با افزایش کسر مولی قله منحنی جذب شیفت آبی^۱ نشان می‌دهد [7].

شکل ۳ تغییرات ضریب جذب را بر حسب انرژی فوتون تابشی به ازای مقادیر مختلف پهنهای طول عمر تراز (g) نشان می‌دهد. از این شکل استنباط می‌شود افزایش طول عمر سبب کاهش قله جذب و تغییر آن می‌شود اما محل پیک تقریباً ثابت است.



شکل ۳ تغییرات ضریب جذب بر حسب انرژی فوتون تابشی برای پهنهای طول عمر تراز

تغییرات ضریب جذب به ازای انرژی فوتون تابشی برای اندازه‌های مختلف نقص مرکزی (a) که در شکل ۴ آورده شده است، نشان می‌دهد با افزایش اندازه نقص قله منحنی ابتدا به سمت طول موجه‌ای آبی جابجا شده و سپس به سمت طول موج قرمز برمی‌گردد. این تغییرات جالب به علت اثرات محصور شدنگی کوانتمی می‌تواند باشد.



شکل ۴: تغییرات ضریب جذب بر حسب انرژی فوتون تابشی به ازای مقادیر مختلف نقص a

4. M, Jr, Bruchez, et al., Semiconductor nanocrystals as fluorescent biological labels. *Science*, 281: 2013–2016, 1998.

5. M, Kouhi; A, Vahedi; A, Akbarzadeh; Y, Hanifehpour; S. W, Joo; Investigation of quadratic electro-optic effects and electro-absorption process in GaN/AlGaN spherical quantum dot. *Nanoscale Research Letters*. 9: 9-13, 2014.

6. A, Rostami; et al; Defect-induced enhancement of absorption coefficient and electroabsorption properties in GaN/AlGaN centered defect quantum box (CDQB) nanocrystal. *Physica B*. 403: 2789–2796, 2008.

7. A,Vahedi; M, kouhi; A, Rostami; Third order susceptibility enhancement using GaN based composite nanoparticle. *Optik*. 124: 6669-6675, 2013.

8. A, Asgari; M, Kalafi; L, Faraone; The effects of GaN Capping Layer Thickness on Two-dimensional Electron Mobility in GaN/AlGaN/GaN Heterostructures. *Physica E*. 25: 431-437, 2005.

9. J, Bleuse; S, Carayon; P, Reiss; Optical Properties of Core/Multishell CdSe/Zn (S, Se) nanocrystals. *Physica E*, 21(2): 331-335, 2004.

10. A, Aharoni; T, Mokari; T, Popov; U, Banin; Synthesis of InAs/CdSe/ZnSe core/shell1/shell2 structures with bright and stable near-infrared fluorescence. *J, Am, Ch, Soc*. 128(1): 257-264, 2006.

11. p, k, kandaswamy; f, guillot; and et all; GAN/ALN short period superlattices for intersubband optoelectronics: a systematic study of their epitaxial growth, design, and performance. *J, Appl, Phys*, 104(9), 093501, 2008.

12. O, K, Chang; W, H, Sung; K, Sung and et al; High-performance graphene quantum-dot photodetectors. *Scientific Reports*, 4: 5603, 2014.

0/05	29	۲/۷۸۱
۰/۱	58	۲/۲۰۷
۰/۲	105	۲/۹۴۸

می توان با تغییر پارامترهای فیزیکی نقطه کوانتومی تغییرات محسوسی درمنحنی جذب برحسب انرژیهای فوتون تابشی ایجاد کرد و ماکزیمم جذب را انتقال داد. ساختارهای مختلف نقطه کوانتومی از نظر کاربرد در آشکارسازها دارای اهمیت زیادی بوده و مرکز توجه بسیاری از محققین می باشد [15-12].

نتیجه‌گیری

نمودارها نشان می دهند با افزایش کسرهای مولی، محل پیک و مقدار آن عدم تا به سمت انرژیهای بیشتر یعنی طول موجهای کوتاهترشیفت پیدا می کند. این تغییرات برای پوسته مرکزی مقدار بیشتری نسبت به پوسته خارجی نشان می دهد. با افزایش اندازه نقطه کوانتومی تغییرات محسوسی درمنحنی ایجاد نمی شود، اما وابستگی جذب به شعاع هسته مرکزی بسیار قوی است، زیرا ساختارمورد مطالعه از نوع سیستم های هسته/پوسته اول بود و محصورشدنگی حاملین بار در ناحیه هسته اتفاق می افتد. افزایش زمان واهلش نیز سبب پایین آمدن ضریب جذب و افزایش پهنای منحنی می شود، یعنی اتفاف در سیستم بالا می رود.

ضریب جذب از مرتبه 10 می باشد که در مقایسه با بقیه نانوساختارها دارای مقدار بزرگتری می باشد. این نتایج برای بهینه سازی عملکرد آشکارسازهای مبتنی بر نقاط کوانتومی می توانند مفید باشد [1,6].

۵. منابع

1. S, J, Liang; W, F, Xie; The hydrostatic pressure and temperature effects on a hydrogenic impurity in a spherical quantum dot. *Eur, Phys, J, B* 81: 79-84, 2011.

2. H, Absalan; A, SalmanOgli; R, Rostami; Simulation of a broadband nano-biosensor based on an onion-like quantum dot-quantum well structure. *Quantum Electronics* 43(7): 674 – 678, 2013.

3. SH, Asadpour; Z, Golsanamlou; H, Rahimpour; H, Soleimani; Infrared and terahertz signal detection in a quantum dot nanostructure. *Phys, E*, 54:45–52. 2013.

13. A, D, Iacovo; C, Venettacci; L, Colace; L, Scopa; S, Foglia; PbS Colloidal Quantum Dot Photodetectors operating in the near infrared. *Scientific Reports*, 6: 37913, 2016.
14. S, Siontas; P, Liu; A, Zaslavsky; and D, Pacifici; Noise performance of high-efficiency germanium quantum dot photodetectors. *Appl, Phys, Lett*, 109: 053508, 2016.
15. R, K, Gujral; V, Damodaran; K, Ghosh;A Theoretical Analysis of the Dark Current in Quantum Dot Infrared Photodetector using Non- Equilibrium Green's Function Model. *Ind, J, of Science and Technology*. 9 (36): 102908, 2016.